

Zeitschrift: Entomologica Basiliensis
Herausgeber: Naturhistorisches Museum Basel, Entomologische Sammlungen
Band: 7 (1982)

Artikel: Révision du genre Lobetus Kiesw. (Col., Cantharidae)
Autor: Brancucci, M.
DOI: <https://doi.org/10.5169/seals-980817>

Nutzungsbedingungen

Die ETH-Bibliothek ist die Anbieterin der digitalisierten Zeitschriften auf E-Periodica. Sie besitzt keine Urheberrechte an den Zeitschriften und ist nicht verantwortlich für deren Inhalte. Die Rechte liegen in der Regel bei den Herausgebern beziehungsweise den externen Rechteinhabern. Das Veröffentlichen von Bildern in Print- und Online-Publikationen sowie auf Social Media-Kanälen oder Webseiten ist nur mit vorheriger Genehmigung der Rechteinhaber erlaubt. [Mehr erfahren](#)

Conditions d'utilisation

L'ETH Library est le fournisseur des revues numérisées. Elle ne détient aucun droit d'auteur sur les revues et n'est pas responsable de leur contenu. En règle générale, les droits sont détenus par les éditeurs ou les détenteurs de droits externes. La reproduction d'images dans des publications imprimées ou en ligne ainsi que sur des canaux de médias sociaux ou des sites web n'est autorisée qu'avec l'accord préalable des détenteurs des droits. [En savoir plus](#)

Terms of use

The ETH Library is the provider of the digitised journals. It does not own any copyrights to the journals and is not responsible for their content. The rights usually lie with the publishers or the external rights holders. Publishing images in print and online publications, as well as on social media channels or websites, is only permitted with the prior consent of the rights holders. [Find out more](#)

Download PDF: 05.02.2026

ETH-Bibliothek Zürich, E-Periodica, <https://www.e-periodica.ch>

Révision du genre *Lobetus* Kiesw. (Col., Cantharidae)

par M. Brancucci

Abstract: *Revision of the genus Lobetus Kiesw. (Col., Cantharidae)* – The genus *Lobetus* is revised and following species are recognized: *L. grandis* Pic (Peru), *haenschi* Pic (Ecuador), *howdeni* n. sp. (Panama), *inapicalis* Pic (Venezuela, Peru, Brazil, Bolivia), *kavanau-ghi* n. sp. (Peru), *lemoulti* Pic (French Guyana, Brazil), *minutissimus* n. sp. (Bolivia), *nigromarginatus* n. sp. (Venezuela), *peruvianus* Pic (Peru), *rahmi* n. sp. (Venezuela), *singularicornis* Pic (Bolivia) and *torticollis* Kiesw. (Columbia, Brazil). *Maronius biimpressus* Pic and *Lobetus inapicalis* var. *testaceipes* Pic are considered as synonyms of *L. inapicalis* Pic, *L. hieckeii* Wittmer (partim) of *L. peruvianus* Pic. *L. brevipennis* is transferred to the genus *Belotus*. A key for species is given and the abdominal last sternites as well as the genitalia of every species are illustrated.

Le présent travail constitue la dernière partie d'une étude consacrée à la révision de *Maronius* et des genres voisins. Leur détermination est aisée et est présentée sous forme de clé dans un travail ultérieur (BRANCUCCI, 1981).

Lors de l'issue du catalogue de DELKESKAMP (1977), le genre *Lobetus* comprenait 10 espèces, il en compte maintenant 12; 3 ont été transférées dans d'autres genres et 5 sont décrites comme nouvelles.

La nomenclature des différentes unités morphologiques est longuement traitée dans nos travaux précédents (BRANCUCCI, 1979, 1980 et 1981).

Les Institutions suivantes ont collaboré à nos recherches. A tous nous adressons nos remerciements les plus vifs.

BM	=	British Museum, London (Miss Dr C.M.F. von Hayek)
CAS	=	California Academy of Sciences, San Francisco (Dr D.H. Kavanaugh)
MEG	=	Museum Paraense Emilio Goeldi, Belém (Dr W.L. Overal)
ML	=	Fundacion Miguel Lillo, Tucuman (Dr A. Willink)
MP	=	Muséum National d'Histoire Naturelle (Dr J.J. Menier)
NHMB	=	Naturhistorisches Museum, Basel
UCV	=	Universidad Central de Venezuela, Maracay (Dr Luis J. Joly T.)
WW	=	coll. W. Wittmer (Bâle)

*Toutes les figures, à l'exception des Nos 1, 36–39, 41–46 ont été effectuées par M. Armin Coray, dessinateur scientifique. Ceci a été possible grâce à la contribution financière du Fonds national suisse de la recherche scientifique (requête no 3.020-0.81).

Lobetus Kiesw.

Lobetus KIESENWETTER, 1852, Linnaea ent. 7: 242 et 244. Espèce type: *L. torticollis* KIESW., 1852, par monotypie.

Tête toujours brune ou noir de poix, rarement testacée sur la partie antérieure. Pronotum testacé, brun dans de rares cas (*L. rahmi* n. sp.) ou brun, bordé de jaune (*L. nigromarginatus* n. sp. et *L. howdeni* n. sp.). Elytres toujours bruns, dans la plupart des cas avec une tache jaune apicale.

♂. Tête couverte de petits tubercules, finement pubescente, toujours très large. Yeux très proéminents. Antennes allongées chez toutes les espèces à l'exception de *L. lemóulti* Pic, où les articles sont très courts et très larges. Le 1^{er} article des antennes est renflé chez *L. torticollis* Kiesw. (Fig. 4), *L. minutissimus* n. sp. (Fig. 5), *L. singularicornis* Pic (Fig. 6), *L. peruvianus* Pic (Fig. 7), *L. kavanaughi* n. sp., *L. lemóulti* Pic et *L. rahmi* n. sp. (Fig. 1); chez les cinq premières, les trois derniers articles sont fortement modifiés (Figs 8–11).

Pronotum aussi long ou à peine plus long que large (Figs 2–3). Bord antérieur arrondi, bord postérieur subsinué. Bords latéraux toujours presque rectilignes, un peu resserrés en arrière des angles antérieurs. Fond également couvert de petits tubercules. Pubescence fine et éparsse.

Elytres courts et rugueux. Bourrelet apical distinct et arrondi, non prolongé par une membrane ou tronqué. Pubescence fine et dense.

Fémurs antérieurs larges et échancrés chez *L. lemóulti* Pic (Fig. 13) et *L. rahmi* n. sp. (Fig. 1). Tibias antérieurs échancrés dans leur partie apicale chez *L. minutissimus* n. sp. (Fig. 12) et chez *L. lemóulti* Pic (Fig. 13).

Abdomen à pores non proéminents. Dernier tergite échantré au milieu de son bord postérieur chez *L. minutissimus* n. sp., *L. singularicornis* Pic, *L. peruvianus* Pic et *L. kavanaughi* n. sp. Dernier sternite plus ou moins profondément et largement échantré (Figs 14–22).

Edéage: Prolongement droit du tegmen généralement très large et très développé, sauf chez *L. howdeni* n. sp. (Fig. 48); sa face interne parfois munie d'une apophyse (Figs 37, 39, 40, 46). Paramère droit dans la plupart des cas étroit et allongé. Paramère gauche lamelleux. Lobe médian cylindrique (Figs 34–48).

♀. Semblable au ♂, les yeux sont cependant un peu plus petits. Dernier sternite visible non ou faiblement échantré au milieu de son

bord postérieur (Figs 23–33). Coxites petits, arrondis au sommet, rarement triangulaires (*L. grandis* Pic), base allongée. Style court et large (Figs 49–52, 55–57) ou alors allongé, en forme de massue (Figs 54, 58, 59). Les coxites de *L. lemoulti* sont particuliers, ils sont en effet soudés entre eux et ne présentent pas de style (Fig. 53).

Longueur totale: 4–8.5 mm.

Répartition: Panama, Colombie, Vénézuéla, Guyane Française, Equateur, Pérou, Brésil et Bolivie.

1. *Lobetus torticollis* Kiesw.

Figs 2, 4, 8, 14, 23, 34, 49.

Lobetus torticollis KIESENWETTER, 1852, Linnaea ent. 7: 245.

Une redescription a été récemment faite par L.J. JOLY T. (1981). Elle est accompagnée de figures, en particulier de l'édéage, de la tête et des antennes.

Tête brune sur le vertex et le front, testacée sur le clypéus. Palpes maxillaires testacés. Antennes brunes, un peu plus claires sur le 1^{er} et les 3 derniers articles. Pronotum brun-testacé, avec une tache brune et arrondie sur le disque. Elytres et ailes bruns. Pattes brunes, testacées à la base des fémurs. Abdomen brun-testacé.

♂. Tête fortement déprimée, fortement pubescente. Yeux petits mais proéminents. Espace interoculaire 1.6 fois plus large que le plus grand diamètre de l'oeil. Premier article des antennes allongé, fortement renflé (Fig. 4), les 2^e et 3^e, 2.5 fois plus courts; le 3^e 1.2 fois plus court que le 1^{er}; les 4^e et suivants 1.3 fois plus courts que le 1^{er}, à l'exception des 3 derniers qui sont très longs et difformes (Fig. 8). Le 4^e article est 3 fois plus long que large.

Pronotum aussi long que large, avec une dépression en V garnie de soies sur la moitié antérieure (Fig. 2). Bord antérieur sinué, bord postérieur arrondi. Bords latéraux subrectilignes. Pubescence fine.

Elytres courts, 1.5 fois plus longs que larges ensemble aux épaules. Bourrelet apical bien visible. Pubescence courte et dense.

Sternites à pubescence longue en leur milieu. Avant-dernier sternite largement échancré (Fig. 14).

Edéage: Paramère droit court et grêle. Paramère gauche allongé, muni d'une touffe de soies à son extrémité. Prolongement droit du tegmen bifurqué, une première fois à sa base et une seconde fois au sommet (Fig. 34).

♀. Semblable au ♂, les antennes ne sont cependant ni renflées, ni difformes; les yeux sont d'autre part un peu moins proéminents. Der-

nier sternite arrondi, vaguement sinué sur son bord postérieur (Fig. 23). Coxite à sommet arrondi et à base allongée. Style court et large (Fig. 49).

Longueur totale: 7.5–8.5 mm.

Types: Nous n'avons pas pu retrouver les types de cette espèce. La description originale de même que les illustrations y relatives sont cependant suffisamment claires pour permettre une redescription. Celle-ci a été faite sur un individu de Colombie (BM) et un second du Brésil (BM).

Affinités: *Lobetus torticollis* Kiesw. est très caractéristique. Sa taille, la morphologie du pronotum, celle de l'édéage et des segments génitaux des femelles ne permettent pas de la confondre avec toute autre espèce de ce genre.

Autres localités: Vénézuéla: Caracas (2 ex., BM). Caracas (?), ex. Musaeo Guér.-Ménev. (1 ex., BM; 1 ex., MP). Miranda, Hda., Conde Meztiale, 10°32' N, 66°48' O, 23. VIII. 1967, N. Sanchez (4 ex., UCV; 3 ex., NHMB).

Colombie: (1 ex., NHMB).

Brésil: (1 ex., MP; 1 ex., NHMB).

Répartition: Brésil, Colombie.

2. *Lobetus minutissimus* n. sp.

Figs 5, 9, 12, 15, 35.

Tête noire, palpes maxillaires testacés. Antennes testacées, rembrunies sur les 4 derniers articles. Pronotum testacé. Elytres bruns, le quart apical jaune. Ailes brunes. Pattes entièrement testacées, rembrunies seulement dans la partie postérieure des métatéfémurs. Abdomen testacé, les deux derniers urites bruns.

♂. Tête couverte de petits tubercules. Pubescence courte et dense. Yeux proéminents. Espace interoculaire de même largeur que le plus grand diamètre de l'œil. Antennes longues, dépassant de 4 articles l'apex des élytres. Premier article fortement renflé (Fig. 5), les 2^e et 3^e globuleux; le 4^e de même longueur que le 1^{er}; les 5^e et suivants subégaux, un peu plus courts que le 1^{er}; le 9^e article est fortement élargi, le 10^e difforme et le 11^e allongé (Fig. 9). Le 4^e article est 3.7 fois plus long que large.

Pronotum un peu plus large que long, à fond également couvert de petits tubercules. Bords antérieur et postérieur arrondis, bords latéraux subrectilignes, un peu rétrécis avant les angles antérieurs. Pubescence fine.

Elytres 1.7 fois plus longs que larges ensemble aux épaules. Bourrelet apical bien visible. Fond densément couvert de petits tubercules. Pubescence courte et dense.

Tibias antérieurs échancrés dans leur partie apicale (Fig. 12). Dernier tergite également échancré au milieu de son bord postérieur. Avant-dernier sternite peu profondément et largement échancré (Fig. 15).

Edéage: Paramère droit très long. Paramère gauche lamelleux, plaqué contre le lobe médian, fortement élargi à son extrémité. Prolongement droit du tegmen très long et profondément échancré sur son bord postérieur (Fig. 35, d'après l'holotype).

♀. Inconnue.

Longueur totale: 4–4.5 mm.

Types: Holotype ♂ (MP). Localité: Amazone, Fonteboa. 1 paratype ♂ (NHMB). Localité: Amazone, Staudinger. 1 paratype ♂ (MP). Localité: Bolivia.

Affinités: Cette espèce est proche de *L. peruvianus* et de *L. singularicornis*, elle s'en distingue cependant aisément par sa taille et surtout par son édéage.

3. *Lobetus singularicornis* Pic

Figs 6, 10, 16, 24, 36, 37, 50.

Lobetus singularicornis Pic, 1928, Echange 44, hors-texte: 68.

Tête noir de poix. Palpes maxillaires testacés, rembrunis sur le 2^e article. Antennes brunes, les trois premiers articles éclaircis en dessus, le 9^e et 10^e testacés. Pronotum et écusson complètement testacés. Elytres bruns, rougeâtres vers l'apex. Ailes brunes. Pattes testacées, rembrunies dans la partie apicale des fémurs, sur les tibias et les tarses. Abdomen testacé, à l'exception des deux derniers urites qui sont bruns.

♂. Tête lisse, régulièrement couverte de petits tubercules. Pubescence fine. Yeux grands, proéminents. Espace interoculaire un peu plus de 1.1 fois plus large que le plus grand diamètre de l'œil. Antennes longues, atteignant le VI^e segment abdominal. 1^{er} article renflé (Fig. 6), le 2^e 3.3 fois et le 3^e 2.2 fois plus courts; les 4^e et suivants subégaux, un peu plus courts que le 1^{er}. 1^{er} article fortement renflé; le 4^e est 5 fois plus long que large; le 10^e est fortement modifié (Fig. 10).

Pronotum à peine plus long que large, à fond lisse, régulièrement couvert de très petits tubercules. Bords antérieur et postérieur arrondis. Bords latéraux parallèles à la base, resserrés devant les angles antérieurs. Pubescence fine.

Elytres mats, rugueux, 1.5 fois plus longs que larges ensemble aux épaules. Bourrelet apical distinct. Apex tronqué et prolongé par une fine membrane. Pubescence fine.

Fémurs antérieurs non tronqués. Pores abdominaux non proéminents. Dernier tergite échancré au milieu de son bord postérieur. Avant-dernier sternite largement et profondément échancré. (Fig. 16).

Edéage: Paramère droit très court. Paramère gauche lamelleux. Prolongement droit du tegmen rectiligne sur son bord postérieur et non développé dorsalement. A la base de sa face ventrale se trouve une apophyse très fortement sclérifiée dont l'apex est rejoint par celui du paramère droit. Lobe médian cylindrique (Figs 36–37, d'après le lectotype).

♀. Semblable au ♂. Les antennes sont également très longues. Le 1^{er} article n'est cependant pas renflé. Les yeux sont nettement plus petits, l'espace interoculaire n'est que 1.5 fois plus large que le plus grand diamètre de l'oeil. Dernier sternite faiblement et étroitement échancré sur son bord postérieur (Fig. 24). Coxites petits, arrondis, prolongés dans leur partie basale par une tige courte. Styles courts (Fig. 50).

Longueur totale: 6.5–7 mm.

Types: 4 individus (1 ♂ et 3 ♀, MP). Le ♂ est ici désigné lectotype, les autres exemplaires paralectotypes. Localité: Bolivia, Coroico.

Affinités: Cette espèce est proche de *L. torticollis* Kiesw. Elle s'en distingue cependant aisément par la forme du 10^e article des antennes, par son édéage ♂, en particulier par le paramère droit qui est nettement moins large dans son tiers apical, le paramère gauche qui est distinctement plus étroit et par un prolongement droit du tegmen non développé du côté dorsal. Les coxites ♀ permettent également de distinguer ces espèces.

Autres localités: Bolivie, coll. Hicker (1 ex., WW). Locatal, Chapaté, 25.III.1953, Prosen (1 ex., WW). Idem, 1200 m, 26.III.1953, Martinez (2 ex., WW). Yungas d. Palmar, 800 m, 20.I.1958, F. Monros (2 ex., NHMB).

Répartition: Bolivie.

4. *Lobetus peruvianus* Pic

Figs 3, 7, 17, 25, 38, 39, 51.

Lobetus peruvianus Pic, 1906, Echange 22: 51.

Lobetus hieckei WITTMER, 1970, Mitt. zool. Mus. Berlin 46: 35, **n.syn.**, partim.

Tête noir de poix. Palpes maxillaires testacés. Antennes testacées,

les articles 4–7 faiblement rembrunis, les 10^e et 11^e franchement bruns. Pronotum et écusson testacés. Elytres noir de poix, jaunes à l'apex. Ailes brunes. Pattes testacées, brunes sur la partie apicale des fémurs et des tarses. Abdomen testacé, à l'exception des deux derniers urites qui sont bruns.

♂. Tête lisse, régulièrement couverte de petits tubercules. Pubescence très fine. Yeux très grands (Fig. 3). Espace interoculaire 1.2 fois plus large que le plus grand diamètre de l'oeil. Antennes longues, atteignant le IV^e segment abdominal. 1^{er} article allongé, le 2^e très court, globuleux, 3.6 fois plus court; le 3^e un peu plus de 2 fois plus court, les 4^e et suivants un peu plus longs que le 1^{er}. Le 1^{er} article est fortement renflé (Fig. 7), le 4^e est 4.8 fois plus long que large et le 10^e est fortement modifié (selon la description originale; il manque chez tous les ♂ connus).

Pronotum aussi large que long (Fig. 3). Bord antérieur arrondi, bord postérieur sinué. Bords latéraux subparallèles, faiblement resserrés devant les angles antérieurs et postérieurs. Pubescence très fine. Fond lisse munis de très petits tubercules.

Elytres courts, 1.6 fois plus longs que larges ensemble aux épaules, non comprimés et largement arrondis à l'apex. Bourrelet apical distinct.

Pores abdominaux non visibles. Dernier tergite échancré sur son bord postérieur. Avant-dernier sternite largement échancré (Fig. 17).

Edéage: Paramère droit très court. Paramère gauche très large et lamelleux. Prolongement droit du tegmen très large et très court, peu prolongé et peu rétréci dans sa partie dorsale. A la base de sa face dorsale se trouve une pièce conique très fortement sclérifiée (Figs 38–39, d'après le lectotype).

♀. Semblable au ♂. Yeux grands. Espace interoculaire 1.3 fois plus large que le plus grand diamètre de l'oeil. Antennes atteignant également le IV^e segment abdominal, les derniers articles sont très fins et très longs, le dernier est par exemple 7.7 fois plus long que large; le 1^{er} n'est pas renflé. Dernier sternite arrondi (Fig. 25). Coxites ronds au sommet, très étroits vers la base. Style très court (Fig. 51).

Longueur totale: 5.5–6.5 mm.

Types: 2 individus (MP). Le ♂ est ici désigné lectotype, la ♀ paralectotype. Localité: Pérou, Callanga.

Affinités: Cette espèce est très voisine de *L. singularicornis* et surtout de *L. kavanaughi*, elle s'en distingue cependant par son édéage, en particulier par le prolongement droit du tegmen et par ses coxites.

Autres localités: Pérou: (3 ex., MP). Vilcanota (5 ex., MP; 4 ex., NHMB). Callanga (2 ex., MP).

Répartition: Pérou.

5. *Lobetus kavanaughi* n. sp.

Figs 11, 26, 40, 52.

Nous ne donnerons pas pour cette espèce une description complète, ceci reviendrait à répéter celle de *L. peruvianus* Pic. Sa morphologie externe semble en effet lui être en tout point identique. Les derniers articles des antennes (Fig. 11) n'ont cependant pas pu être comparés, ils manquent chez tous les ♂ connus de *L. peruvianus*. *L. kavanaughi* se distingue cependant de cette dernière espèce par son édage, le prolongement droit du tegmen est fortement échantré sur son bord postérieur (Fig. 40), et aussi par les coxites qui sont plus brusquement retrécis entre le sommet et la base (Fig. 52). Le VIII^e sternite du mâle est semblable à celui de *L. peruvianus* Pic (Fig. 17). Le VIII^e sternite de la femelle est plus aplati, presque concave au milieu de son bord postérieur (Fig. 26).

Longueur totale: 5.7 mm.

Types: Holotype ♂ (CAS) et 2 paratypes (1 ♂, NHMB; 1 ♀ CAS). Localité: Pérou, Monzon Valley, Tingo Maria, 8.X.1954 (holotype et paratype ♂), 26.X.1954 (paratype ♀) E.I. Schlinger & E.S. Ross.

6. *Lobetus lemoulti* Pic

Figs 13, 18, 27, 41, 42, 53.

Lobetus lemoulti Pic, 1913, Mélanges exot.-ent. 7: 19.

Tête noire, palpes maxillaires testacés. Antennes à 3 premiers articles testacés, les suivants bruns, à l'exception du dernier qui est brun clair. Pronotum de coloration variable; il est brun chez l'holotype, testacé chez les autres individus (Brésil). Pattes testacées. Abdomen testacé, rembruni sur les 2 derniers sternites.

♂. Tête lisse, finement pubescente et éparsément couverte de petits tubercules, très large et déprimée. Yeux très grands et proéminents. Espace interoculaire 1.2 fois plus large que le plus grand diamètre de l'oeil. Antennes courtes, dépassant de 1 article l'apex des élytres; 1^{er} article renflé, cylindrique, le 2^e 2.3 fois, les 3^e 1.7 fois et le 4^e 1.9 fois plus courts; les 5^e et suivants subégaux, 1.8 fois plus courts que le 1^{er}. Les articles 4–11 sont fortement élargis, le 4^e est 1.6 fois plus long que large.

Pronotum un peu plus de 1.1 fois plus large que long. Bord antérieur arrondi. Bord postérieur sinué en dedans des angles. Bords laté-

raux subrectilignes. Fond lisse, muni çà et là de très petits tubercules. Pubescence très fine et très éparsé.

Elytres courts, 1.6 fois plus longs que larges ensemble aux épaules. Bourrelet apical distinct. Pubescence fine.

Fémurs antérieurs renflés, tibias fortement échancrés sur leur tiers antérieur (Fig. 13).

Pores abdominaux non proéminents. Dernier tergite échancré au milieu de son bord postérieur. Avant-dernier sternite étroitement et profondément échancré (Fig. 18). Dernier sternite allongé.

Edéage: Paramère droit absent. Paramère gauche lamelleux. Lobe médian muni de divers prolongements sclérifiés (non visibles chez l'holotype et par conséquent sur la figure 41). Prolongement droit du tegmen fortement échancré au milieu de son bord postérieur (Figs 41–42, d'après le lectotype).

♀. Semblable au ♂, les antennes sont à peine plus courtes, le 1^{er} article n'est cependant pas renflé. Enfin, les yeux sont moins grands mais presque tout aussi proéminents. Espace interoculaire 1.5 fois plus large que le plus grand diamètre de l'oeil. Dernier sternite visible arrondi au milieu de son bord postérieur, un peu échancré sur les bords (Fig. 27). Coxites d'un type très particulier, ils sont en effet fermement reliés l'un à l'autre et ne forment ainsi plus qu'une pièce. Le style est d'autre part absent (Fig. 53).

Longueur totale: 4–4.5 mm.

Types: 1 holotype ♂ (MP). Localité: Guyane Française, St.-Laurent du Maroni, décembre, coll. Le Moult.

Affinités: Espèce très caractéristique. Elle se distingue de toute autre par sa taille, par la forme des antennes, en particulier par les articles 4–11, par l'échancrure des tibias antérieurs du ♂ et, enfin, par son édéage et par les coxites des ♀.

Autres localités: Brésil: A.P., Serra do Navio, 10. VII. 1961, J. & B. Béchyne (2 ex., MEG). A.P., Rio Calçoene, 2. VIII. 1961, J. & B. Béchyne (2 ex., MEG; 2 ex., NHMB).

Répartition: Guyane Française, Brésil.

7. *Lobetus inapicalis* Pic

Figs 19, 28, 43, 44, 54.

Lobetus inapicalis Pic, 1906, Echange 22: 52.

Lobetus inapicalis var. *testaceiceps* Pic, 1906, Echange 22: 52, **n. syn.**

Maronius biimpressus Pic, 1955, Echange 71: 13, **n. syn.**

Tête noir de poix. Palpes maxillaires testacés, rembrunis sur le dernier article. Antennes brunes. Pronotum brun. Elytres bruns à tache

apicale jaune bien marquée. Ailes brunes. Abdomen et pattes bruns. Seul l'holotype de *M. biimpressus* Pic possède la coloration décrite ci-dessus. Tous les autres individus que nous avons eu en étude ont les 6 premiers articles des antennes brun-testacé et les suivants noirâtres, un pronotum testacé ou rougeâtre, une tache apicale des élytres peu distincte et des pattes testacées sauf les fémurs et les tibias, qui sont plus ou moins largement rembrunis dans leur moitié distale. L'abdomen est généralement testacé, à l'exception des deux derniers urites qui sont rembrunis.

♂. Tête rugueuse et fortement déprimée chez l'holotype, presque lisse et moins concave chez les autres individus. Yeux grands, proéminents. Espace interoculaire à peine plus large que le plus grand diamètre de l'oeil. Pubescence fine et dense. Antennes courtes, atteignant seulement l'apex des élytres. 1^{er} article allongé, le 2^e 2.7 fois plus court; le 3^e 2.1 fois plus court que le 1^{er}, les 4^e, 5^e et 6^e à peine plus courts; les 7^e et suivants à peine plus longs que le 1^{er}.

Pronotum un peu plus large que long. Bords antérieur et postérieur arrondis. Bords latéraux à plus grande largeur située en leur milieu. Angles antérieurs largement arrondis, angles postérieurs un peu proéminents. Bord postérieur distinctement muni d'un rebord qui se prolonge jusqu'au tiers basal des bords latéraux. Pubescence très fine et très éparsse.

Elytres courts, 1.4 fois plus longs que larges ensemble aux épaules. Pubescence fine et dense. Bourrelet apical distinct.

Fémurs antérieurs élargis.

Pores abdominaux peu proéminents. Avant-dernier sternite largement et profondément échancré, épaissi sur les bords (Fig. 19). Dernier sternite présentant une arête apicale. Neuvième tergite denté sur son bord postérieur.

Edéage: Paramère droit large à la base, puis progressivement rétréci jusqu'à l'apex où il est à nouveau faiblement élargi chez l'holotype de *M. biimpressus* Pic alors qu'il est faiblement recourbé sur la droite chez les autres individus. Paramère gauche large, arrondi sur son bord postérieur. Prolongement droit du tegmen large et arrondi. Prolongement sétifère représenté par une faible proéminence du tegmen. Lobe médian cylindrique (Figs 43–44, d'après l'holotype de *M. biimpressus* Pic).

♀. Semblable au ♂. Les yeux sont moins proéminents et moins gros. Espace interoculaire 1.4 fois plus large que le plus grand diamètre de l'oeil. Antennes un peu plus courtes. Dernier sternite visible légère-

ment échancré au milieu de son bord postérieur (Fig. 28). Coxites à base très longue et très étroite. Style allongé (Fig. 54).

Longueur totale: 6.3–6.8 mm.

Types: Le ou les types de cette espèce n'ont malheureusement pas pu être retrouvés de façon certaine. Nous avons cependant vu plusieurs individus provenant de la localité typique et portant l'étiquette de détermination de la main de Pic: *Lobetus inapicalis* Pic.

Aucune différence significative n'a pu être mise en évidence entre les individus de Callanga mentionnés ci-dessus et les 3 cotypes de *L. inapicalis* var. *testaceiceps* Pic. En conséquence, nous proposons de considérer le taxon *L. inapicalis* var. *testaceiceps* Pic comme synonyme de *L. inapicalis* Pic. 1 ♂ est ici désigné lectotype, les deux autres paralectotypes (MP). Localité: Pérou.

Pour les mêmes raisons, nous proposons de considérer *Maronius biimpressus* Pic comme synonyme de *L. inapicalis* Pic. Cette espèce semble avoir été décrite sur la base d'un seul individu ♂ (holotype, MP). Localité: Pérou, Movobamba, 1^{er} semestre 1887, M. de Mathan.

Affinités: L'édéage de cette espèce est très caractéristique et permet de la distinguer de toute autre. Par son habitus et sa coloration elle est voisine de *Maronius staudingeri* Pic mais s'en distingue par l'apex arrondi des élytres.

Autres localités: Pérou: Chanchamayo, Thamm (2 ex., MP). Callanga (2 ex., MP). Huacapistana, 1800 m, 1.X.1940, Weyrauch (4 ex., ML; 1 ex., NHMB). Cuzco, Rio Urubamba, Machupicchu, 2000 m, 11.IX.1969, Bordon (1 ex., UCV; 1 ex., NHMB). IX.969, Bordon (1 ex., UCV).

Bolivie: Ocobamba, Garlepp (1 ex., NHMB)

Brésil: AM, Ilha, Jerusalem, Rio Negro, 9.V.1954, J. & B. Bechyné (1 ex., UCV).

Vénézuéla: Aragua, Rancho Grande, 1100 m, 3.V.1973 (2 ex., UCV).

Répartition: Pérou, Bolivie, Brésil, Vénézuéla.

8. *Lobetus rahmi* n. sp.

Figs 1, 20, 29, 45, 46, 55.

Tête testacée vers l'avant, brun sur le milieu du clypéus et sur le front. Palpes maxillaires testacés, à l'exception du dernier article qui est brun. Antennes brunes, éclaircies sur le dessous des 3 premiers articles. Pronotum brun, testacé sur les angles antérieurs et plus ou moins largement sur les bords de la moitié postérieure (Fig. 1). Ecusson brun. Elytres bruns, plus clairs sur le disque. Fémurs testacés, sauf leur bord

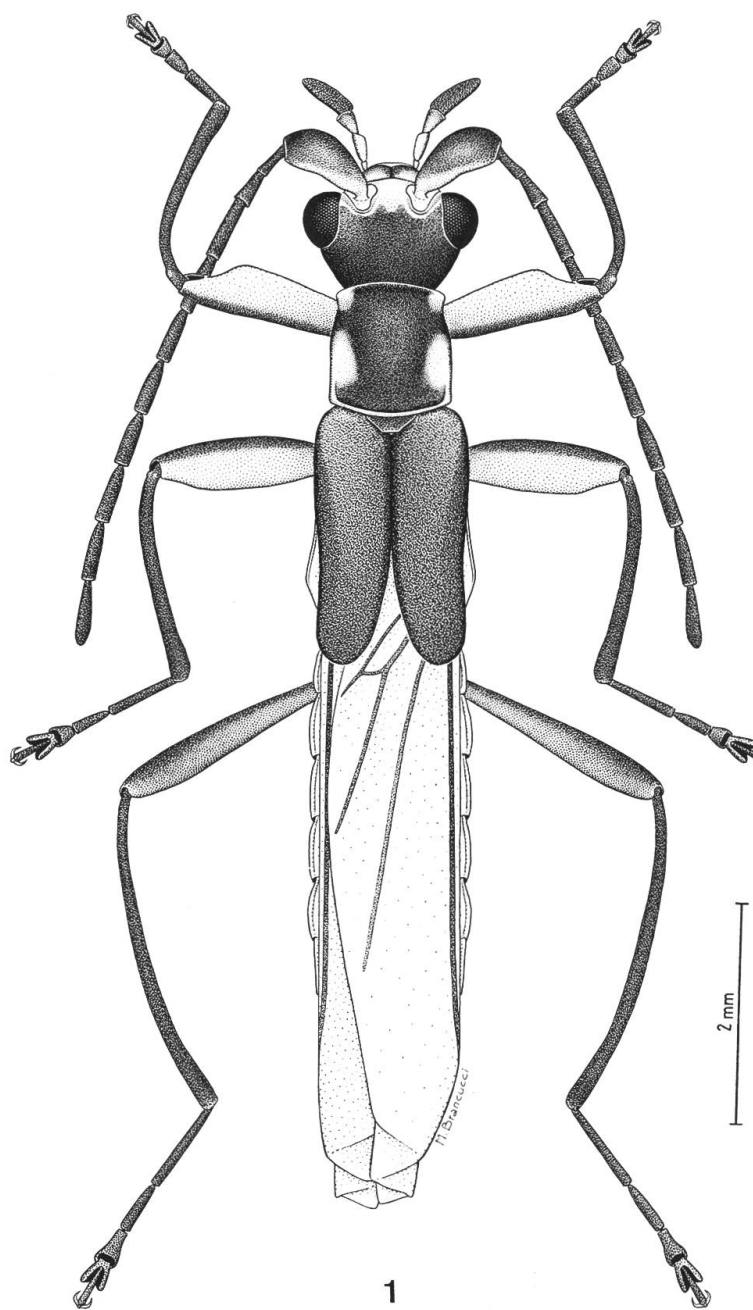


Fig. 1: *Lobetus rahmi* n.sp., habitus.

supérieur qui est brun. Tibias et tarses testacés. Abdomen brun; pleurites, bords des sternites et des tergites testacés.

♂. Tête matte avec ça et là quelques petits tubercules et couverte d'une pubescence très fine et éparsé. Yeux proéminents. Espace interoculaire 1.8 fois plus large que le plus grand diamètre de l'oeil. Bord externe de la fosse antennaire surélevé et denté sur son arête. An-

tennes longues, atteignant le IV^e segment abdominal. 1^{er} article court, fortement épaissi et muni d'une fente longitudinale sur sa face inférieure; 2^e et 3^e articles subégaux, 3 fois plus courts que le 1^{er}; les 4^e et suivants 1.5–1.6 fois plus courts que le 1^{er}. Le 4^e article est 4 fois plus long que large.

Pronotum 1.1 fois plus long que large, mat et recouvert de petits tubercules. Bords antérieur et postérieur arrondis. Bords latéraux sub-parallèles à la base, distinctement resserrés en arrière des angles antérieurs. Pubescence fine et dense.

Elytres courts, 1.5 fois plus longs que larges ensemble aux épaules, très larges sur toute leur longueur, non comprimés latéralement et largement arrondis à l'apex. Pubescence fine et dense.

Fémurs antérieurs très élargis et distinctement échancrés vers leur extrémité (Fig. 1).

Pores abdominaux non proéminents. Avant-dernier sternite largement et profondément échantré (Fig. 20).

Edéage: Paramère droit court et étroit, terminé en «anse» ouverte du côté droit. Paramère gauche lamelleux, élargi à l'apex. Prolongement droit du tegmen étroit à la base puis élargi et longuement prolongé en direction ventrale. Face interne du prolongement avec une dent à la base. Prolongement sétifère absent. Lobe médian cylindrique (Figs 45–46, d'après l'holotype).

♀. Semblable au mâle. Les yeux sont nettement plus petits. Espace interoculaire 2.2 fois plus large que le plus grand diamètre de l'oeil. Les antennes sont un peu plus courtes, elles n'atteignent en effet que le III^e segment abdominal. Le 1^{er} article n'est pas renflé. Dernier sternite arrondi (Fig. 29). Coxites petits et courts. Styles également courts (Fig. 55).

Longueur totale: 7–7.5 mm.

Types: 1 holotype ♂ (UCV) et 3 paratypes (2 ♀, UCV; 1 ♂, NHMB). Localités: Vénézuéla, Merida, Timotes, 13.V.1972, J. & B. Béchyne.

Affinités: Cette espèce est très caractéristique. Elle se laisse facilement reconnaître de toute autre espèce par sa coloration, sa taille et surtout par son édéage et ses coxites.

9. *Lobetus nigromarginatus* n. sp.

Figs 21, 30, 47, 56.

Tête testacée, brune sur le vertex. Palpes maxillaires testacés, le dernier article rembruni. Articles 1–3 des antennes bruns sur la face supérieure seulement, les suivants complètement bruns. Pronotum

jaune-testacé avec une large bande longitudinale brune qui s'étend du bord postérieur au bord antérieur. Pattes testacées, à l'exception d'un léger liseré brun sur la face supérieure de tous les membres. Abdomen brun sur tous les segments, sauf sur les bords, en particulier des sternites, qui sont testacés.

♂. Tête très finement ponctuée, couverte d'une fine et dense pubescence. Yeux très proéminents. Espace interoculaire 1.4 fois plus large que le plus grand diamètre de l'oeil. Antennes longues, atteignant le 5^e segment abdominal. 1^{er} article allongé, le 2^e 2.6 fois et le 3^e 1.6 fois plus courts; le 4^e de même longueur que le 1^{er}, les 5^e et suivants à peine plus courts. Le 4^e article est 4.4 fois plus long que large.

Pronotum sensiblement plus long que large. Bord antérieur régulièrement arrondi, bord postérieur sinué. Bords latéraux subparallèles vers l'arrière, arrondis et convergents vers l'avant. Pubescence fine et dense.

Elytres 1.6 fois plus longs que larges ensemble aux épaules. Bourrelet apical apparent. Apex largement arrondi. Pubescence dense.

Abdomen sans pores proéminents. Avant-dernier sternite largement échantré en V (Fig. 21).

Edéage: Paramère droit élargi à l'apex et prolongé par un long et fin filament. Paramère gauche lamelleux, élargi et bifurqué à son extrémité. Prolongement droit du tegmen étroit à la base et fortement développé dans sa partie apicale. Pas de prolongement sétifère distinct (Fig. 47, d'après l'holotype).

♀. Semblable au ♂, les yeux sont moins proéminents. Espace interoculaire 1.6 fois plus large que le plus grand diamètre de l'oeil. Dernier sternite à bord postérieur non échantré (Fig. 30). Coxites petits, larges et arrondis au sommet, prolongés par une tige étroite et sinuée vers la base. Style très court (Fig. 56).

Longueur totale: 6.5–7 mm.

Types: 1 holotype ♂ (UCV) et 3 paratypes (2 ♀, UCV; 1 ♀, NHMB). Localités: Vénézuéla, Mérida, Carret, El Molino, Cruz de Mora, 2300 m, 1. VI. 1971, J. L. Garcia (holotype et 2 paratypes). Mérida, da. Carbonera, 2600 m, 28. VI. 1968, J. & B. Bechyné (1 paratype).

Affinités: Cette espèce pourrait, à première vue, être confondue avec *L. howdeni* n.sp.. La bordure testacée plus large du thorax, l'édéage ♂ et les coxites ♀ permettent cependant de l'en distinguer très aisément.

Répartition: Vénézuéla.

10. **Lobetus haenschi** Pic

Figs 31, 57.

Lobetus haenschi Pic, 1913, Mélanges exot.-ent. 7: 20.

Tête noir de poix, palpes maxillaires testacés. Antennes à 2 premiers articles testacés, les suivants manquent. Pronotum brun. Elytres bruns, jaunes à l'apex. Ailes brunes. Pattes et abdomen testacés.

♂. Inconnu.

♀. Tête éparsement pubescente, à fond couvert de petits tubercules. Yeux proéminents. Espace interoculaire 1.5 fois plus large que le plus grand diamètre de l'oeil. Premier article antennaire allongé, le 2^e globuleux; les suivants manquent chez le seul individu connu.

Pronotum aussi large que long, à fond également couvert de petits tubercules. Bord antérieur arrondi, quelque peu concave en son milieu. Bord postérieur sinué. Bords latéraux subrectilignes, resserrés avant les angles antérieurs. Pubescence fine et éparsse.

Elytres courts, 1.5 fois plus longs que larges ensemble aux épaules. Fond rugueux. Pubescence courte et dense.

IX^e tergite étroitement et fortement échancré au milieu de son bord postérieur. Dernier sternite visible sinué sur son bord postérieur (Fig. 31). Coxites arrondis au sommet et progressivement rétrécis en direction de la base. Style petit (Fig. 57).

Longueur totale: 6 mm.

Type: 1 holotype ♀ (MP). Localité: Equateur, Santa Jnáz, R. Haensch.

Affinités: *Lobetus haenschi* Pic est voisin de *L. singularicornis* et surtout de *L. grandis* Pic et *L. rahmi* n.sp., il s'en distingue surtout par sa taille, sa coloration, en particulier ses fémurs concolores et, enfin, par ses coxites.

11. **Lobetus grandis** Pic

Figs 32, 58.

Lobetus grandis Pic, 1906, Le Naturaliste 28: 175.

Tête noir de poix, palpes maxillaires testacés. Antennes brunes, à l'exception de la partie inférieure du 1^{er} article, du 10^e et de la moitié postérieure du 11^e qui sont testacés. Pronotum brun à brun-testacé. Elytres bruns, jaunes à l'apex. Ailes brunes. Pattes brunes, à l'exception de la base des fémurs qui est testacée. Abdomen brun, les sternites I-VII testacés.

♂. Inconnu.

♀. Tête finement et éparsement pubescente, à fond finement rugueux. Yeux moyennement proéminents. Espace interoculaire 1.5 fois

plus large que le plus grand diamètre de l'oeil. Antennes longues, dépassant de 2 articles l'apex des élytres. 1^{er} article allongé, le 2^e 2.5 fois et le 3^e 1.2 fois plus courts; les 4^e et suivants subégaux, 1.1 fois plus longs que le 1^{er}, à l'exception des 3 derniers qui sont de taille intermédiaire. Le 4^e article est 5 fois plus long que large dans sa plus grande largeur.

Pronotum à peine plus long que large. Bord antérieur arrondi, faiblement aplati en son milieu. Bord postérieur sinué. Bords latéraux subrectilignes, vaguement convergents vers l'avant dans leur moitié antérieure. Pubescence très fine et éparsse.

Elytres courts, 2.4 fois plus longs que larges ensemble aux épaules. Fond rugueux. Bourrelet apical bien visible, arrondi. Pubescence fournie.

Dernier sternite visible très faiblement échancré au milieu de son bord postérieur (Fig. 32). Coxites triangulaires au sommet et prolongés en une mince tige basale. Style allongé (Fig. 8, d'après le lectotype).

Longueur totale: 7 mm.

Types: 2 individus ♀ (MP). Un est ici désigné lectotype, l'autre paralectotype. Localité: Pérou.

Affinités: *L. grandis* Pic est proche de *L. haenschi* Pic. Sa taille, sa coloration et ses coxites permettent de l'en distinguer aisément.

12. *Lobetus howdeni* n. sp.

Figs 22, 33, 48, 59.

Tête testacée, brune sur le front et le vertex. Palpes maxillaires brun-testacé. Articles 1–4 des antennes testacés, rembrunis sur la face supérieure; articles 5–8 complètement bruns, articles 9–11 brun-testacé. Pronotum brun, testacé sur les bords. Elytres et ailes bruns. Pattes testacées rembrunies à l'apex des tibias et sur les deux derniers articles des tarses. Abdomen brun, bordé de jaune.

♂. Tête lisse, couverte d'une pubescence dense. Yeux très proéminents. Espace interoculaire 1.4 fois plus large que le plus grand diamètre de l'oeil. Antennes longues, atteignant le VI^e segment abdominal. 1^{er} article allongé, le 2^e 2.7 fois plus court; le 3^e 2 fois plus long que le 2^e; les 4^e et suivants subégaux, 1.1 fois plus longs que le 1^{er}. 4^e article 4.4 fois plus long que large.

Pronotum à peine plus long que large. Bord antérieur arrondi, bord postérieur sinué. Bords latéraux subrectilignes, convergents vers l'avant. Pubescence fine et éparsse.

Elytres 1.6 fois plus longs que larges ensemble aux épaules, étirés et étroits vers l'apex. Pubescence dense.

Abdomen à pores non proéminents. Avant-dernier sternite largement échancré (Fig. 22). Dernier sternite présentant un bourrelet transversal dans son tiers apical.

Edéage: Paramères droit et gauche fins et courts (non visibles sur la figure). Prolongement droit du tegmen large à la base, estompé dorsalement et prolongé ventralement. Prolongement sétifère court et large (en vue latérale) (Fig. 48, d'après l'holotype).

♀. Semblable au ♂, les yeux sont cependant nettement moins proéminents, les antennes un peu plus courtes; elles n'atteignent en effet que le IV^e segment abdominal. Dernier sternite à peine échancré (Fig. 33). Coxites arrondis au sommet et régulièrement rétrécis jusqu'à la base. Style allongé (Fig. 59).

Longueur totale: 5.7–6.5 mm.

Types: 1 holotype ♂ (NHMB) et 2 paratypes ♀ (NHMB). Localité: Panama, Chiriquí, 2 km W Cerro, Punta, 8°51' N, 82°36' W, 1720 m, 15.–30. V. 1977 (holotype et 1 paratype), 1.–7. VI. 1977 (1 paratype), à la lumière, H. Howden.

Affinités: Cette espèce, par la forme du pronotum, par celle des derniers sternites ♂ et ♀, par sa coloration et par son édéage se distingue de toute autre espèce de ce genre.

Répartition: Panama

Clé de détermination des espèces

Nous baserons la présente clé de détermination sur les caractères bien visibles et indiscutables que représentent la morphologie externe des mâles. Les segments génitaux femelles ne serviront qu'à les renforcer. En conséquence, les deux espèces (*L. grandis* Pic et *L. haenschi* Pic) dont les mâles restent encore inconnus ne pourront être intégrés dans cette table.

- | | |
|--|---|
| 1. ♂: Trois derniers articles des antennes modifiés (Figs 8–11), 1 ^{er} article toujours renflé (Figs 4–7). ♀: Coxites à sommet arrondi | 2 |
| – ♂: Trois derniers articles des antennes non modifiés, 1 ^{er} article renflé ou non. ♀: Coxites à sommet arrondi ou autre | 6 |
| 2. ♂. 10 ^e articles des antennes très large, fortement modifié | |

- (Figs 9–11); le 11^e allongé, non ou peu élargi. Moitié antérieure du pronotum sans dépression triangulaire garnie de soies 3
- ♂: 10^e articles des antennes allongé et tordu sur lui-même; le 11^e fortement élargi en forme de massue (Fig. 8). Moitié antérieure du pronotum avec une dépression triangulaire garnie de soies (Fig. 2). 1. **L. torticollis** Kiesw.
3. ♂: Tibias antérieurs non échancrés sur leur tiers apical. 3^e et 10^e articles des antennes au moins 2 fois plus longs que larges (Figs 10–11). Prolongement droit du tegmen très large à la base (Figs 36, 38, 40) 4
- ♂: Tibias antérieurs échancrés sur leur tiers apical (Fig. 12). 3^e et 10^e articles des antennes à peine plus longs que larges (Fig. 9). 2. **L. minutissimus** n. sp.
4. Bourrelet apical des élytres coloré de jaune. ♂: Prolongement droit du tegmen prolongé dans sa partie dorsale ou alors échancré sur son bord postérieur (Figs 39, 40) 5
- Bourrelet apical des élytres non coloré de jaune. ♂: Prolongement droit du tegmen ni prolongé dans sa partie dorsale, ni échancré sur son bord postérieur (Fig. 37).
3. **L. singularicornis** Pic
5. ♂: Prolongement droit du tegmen prolongé sur sa face dorsale (Fig. 39). ♀: Coxites régulièrement rétrécis en direction de la base (Fig. 51). 4. **L. peruvianus** Pic
- ♂: Prolongement droit du tegmen fortement échancré sur son bord postérieur (Fig. 40). ♀: Coxites brusquement rétrécis entre le sommet et la base (Fig. 52). 5. **L. kavanaughi** n. sp.
6. ♂: Antennes allongées, articles médians plus de 3 fois plus longs que larges. Espèces de grande taille, au moins 5.5 mm. 7
- ♂: Antennes courtes, articles médians moins de 2 fois plus longs que larges. ♀: Coxites soudés, sans style (Fig. 53). Espèce de petite taille, 4–4.5 mm. 6. **L. lemoulti** Pic
7. Pronotum complètement jaune, très rarement brun (voir aussi *L. rahmi* n. sp., mais de taille plus réduite: 6.3–6.8 mm). ♀: Coxites à base très longue et très étroite (Fig. 54). 7. **L. inapicalis** Pic
- Pronotum varié de brun et de jaune ou complètement brun (*L. rahmi* n. sp., taille grande: 7–7.5 mm). Coxites progressivement rétrécis en direction de la base 8
8. ♂: 1^{er} article des antennes non renflé. Fémurs antérieurs non

- élargis et échancrés dans leur partie apicale. Espèces à pronotum varié de brun et de jaune 9
- ♂: 1^{er} articles des antennes fortement renflés (Fig. 1). Fémurs antérieurs élargis et échancrés dans leur partie apicale (Fig. 1). Espèce à pronotum uniformément brun, tout au plus éclairci sur les angles. 8. **L. rahmi** n. sp.
 - 9. Taille: 6.5–7 mm. Bord latéral jaune du pronotum large. ♀: Prolongement droit du tegmen très ample (Fig. 47). Pas de prolongement sétifère rigide. 9. **L. nigromarginatus** n. sp.
 - Taille: 5.7–6.5 mm. Bord latéral jaune du pronotum très étroit. ♂: Prolongement droit du tegmen réduit et présence d'un prolongement sétifère rigide (Fig. 48). 10. **L. howdeni** n. sp.

Espèce exclue du genre *Lobetus*

***Belotus brevipennis* (Pic) n. comb.**

Lobetus brevipennis Pic, 1906, Echange 22: 51.

Cette espèce mérite d'être transférée dans le genre *Belotus*. En effet, la tête peu déprimée, les antennes très courtes de même que l'édéage correspondent parfaitement à la description de ce genre.

Considérations phylogénétiques

Les mâles de 2 espèces et la femelle d'une espèce restent encore inconnus, il nous est par conséquent très difficile d'accorder une place importante aux relations phylogénétiques des différentes espèces de ce genre et encore moins de les illustrer à l'aide d'un cladogramme.

Fondamentalement, nous pouvons cependant distinguer 2 lignées évolutives parmi les espèces du genre *Lobetus*. Une première, caractérisée par une modification importante des antennes (*L. torticollis* Kiesw., *L. minutissimus* n. sp., *L. singularicornis* Pic, *L. peruvianus* Pic, *L. kavanaughi* n. sp. et *L. lemoulti* Pic) et une seconde, où on observe une forte différentiation au niveau de l'édéage (les autres espèces).

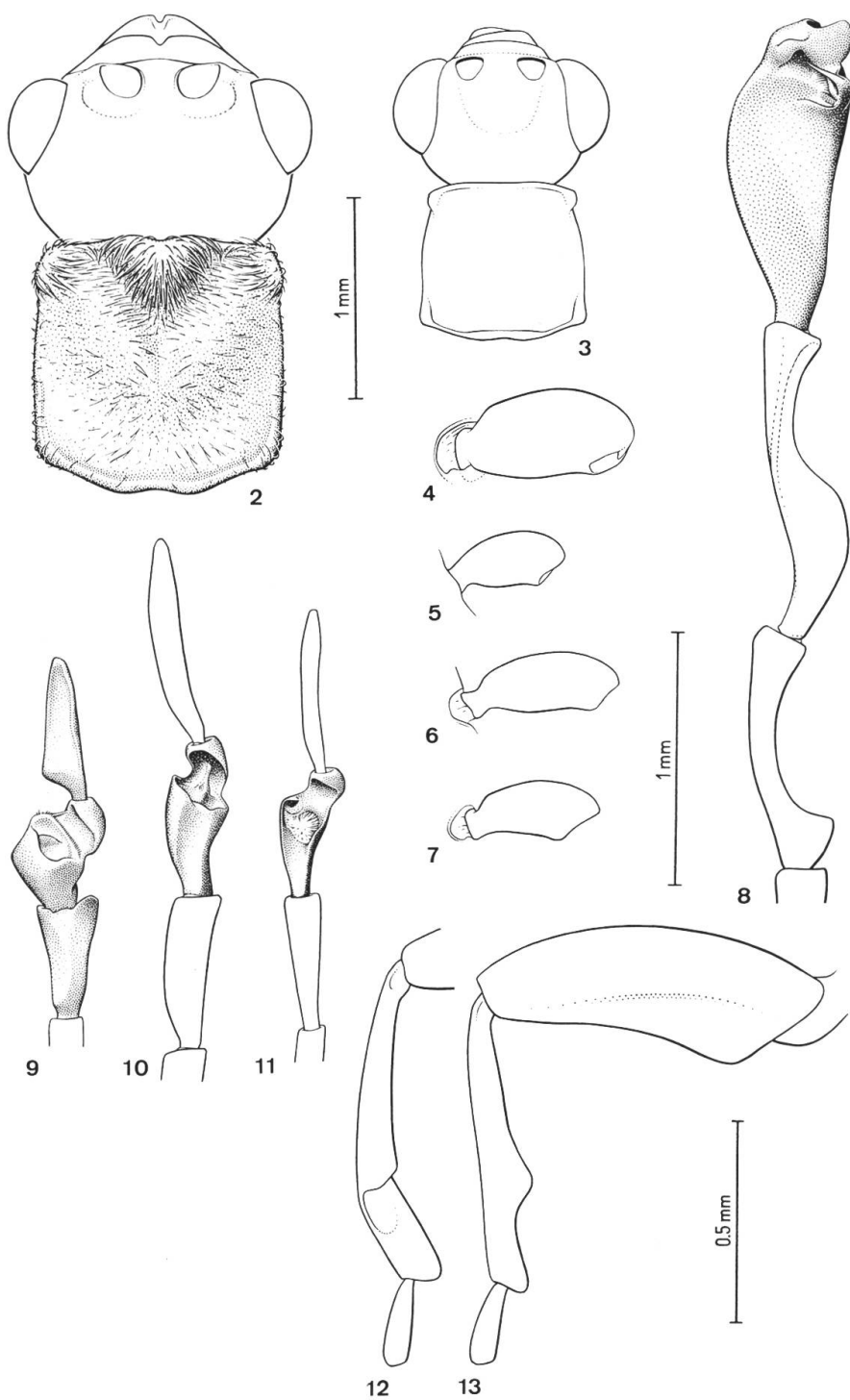
A l'intérieur de ces deux grands groupes, on peut noter un certain nombre de synapomorphies, pour le premier par exemple: 3 derniers articles des antennes modifiés (*L. torticollis* Kiesw., *L. minutissimus*

n. sp., *L. singularicornis* Pic, *L. peruvianus* Pic et *L. kavanaughi* n. sp.) ou pronotum avec une dépression (*L. torticollis* Kiesw.), ou encore articles antennaires courts et larges (*L. lemoulti* Pic), coxites soudés et style absent (*L. lemoulti* Pic), tibias antérieurs échancrés (*L. minutissimus* n. sp., *L. lemoulti* Pic); pour le deuxième par exemple: fémurs antérieurs élargis et échancrés chez le mâle (*L. rahmi* n. sp., *L. lemoulti* Pic).

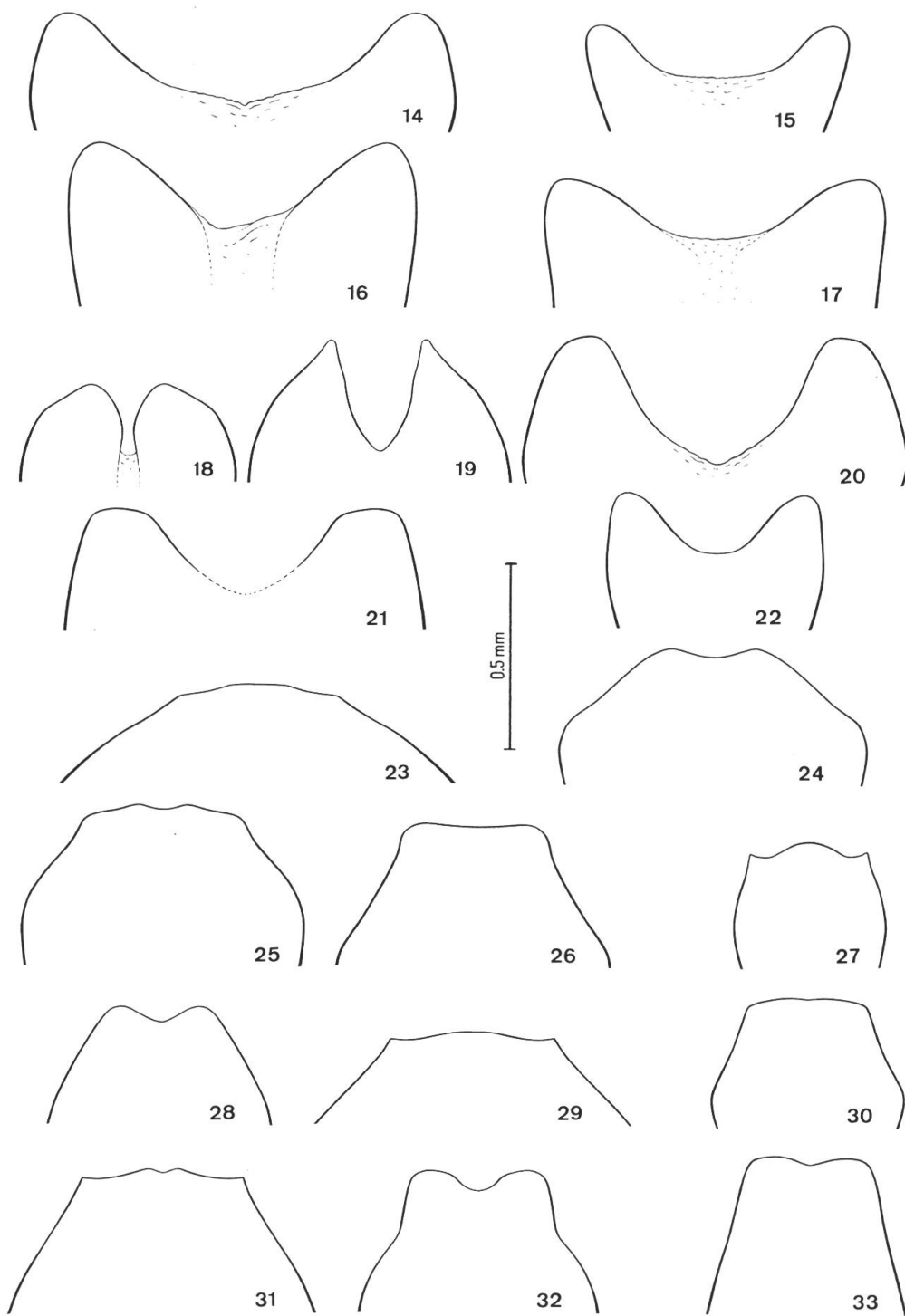
Bibliographie

- BRANCUCCI, M. (1979): Révision du genre *Belotus* Gorham (Col. Cantharidae). Entomologica Basiliensis 4: 361–430.
- BRANCUCCI, M. (1980): Morphologie comparée, évolution et systématique des Cantharidae (Insecta: Coleoptera). Entomologica Basiliensis 5: 215–388.
- BRANCUCCI, M. (1981): Révision du genre *Maronius* Gorham et notes sur les genres voisins (Coleoptera: Cantharidae). Entomologica Basiliensis 6: 328–367.
- DELKESKAMP, K. (1977): Coleopterorum Catalogus Supplementa, Pars 165, fasc. 1. Col. Cantharidae. 485 pp. The Hague.
- JOLY TINOCO, L.J. (1981): Los Chauliognathinae (Coleoptera: Cantharidae) de Venezuela. I. Redescripción de *Lobetus torticollis* Kiesenwetter. Bol. Ent. Venez. N.S. 1(12): 139–146.

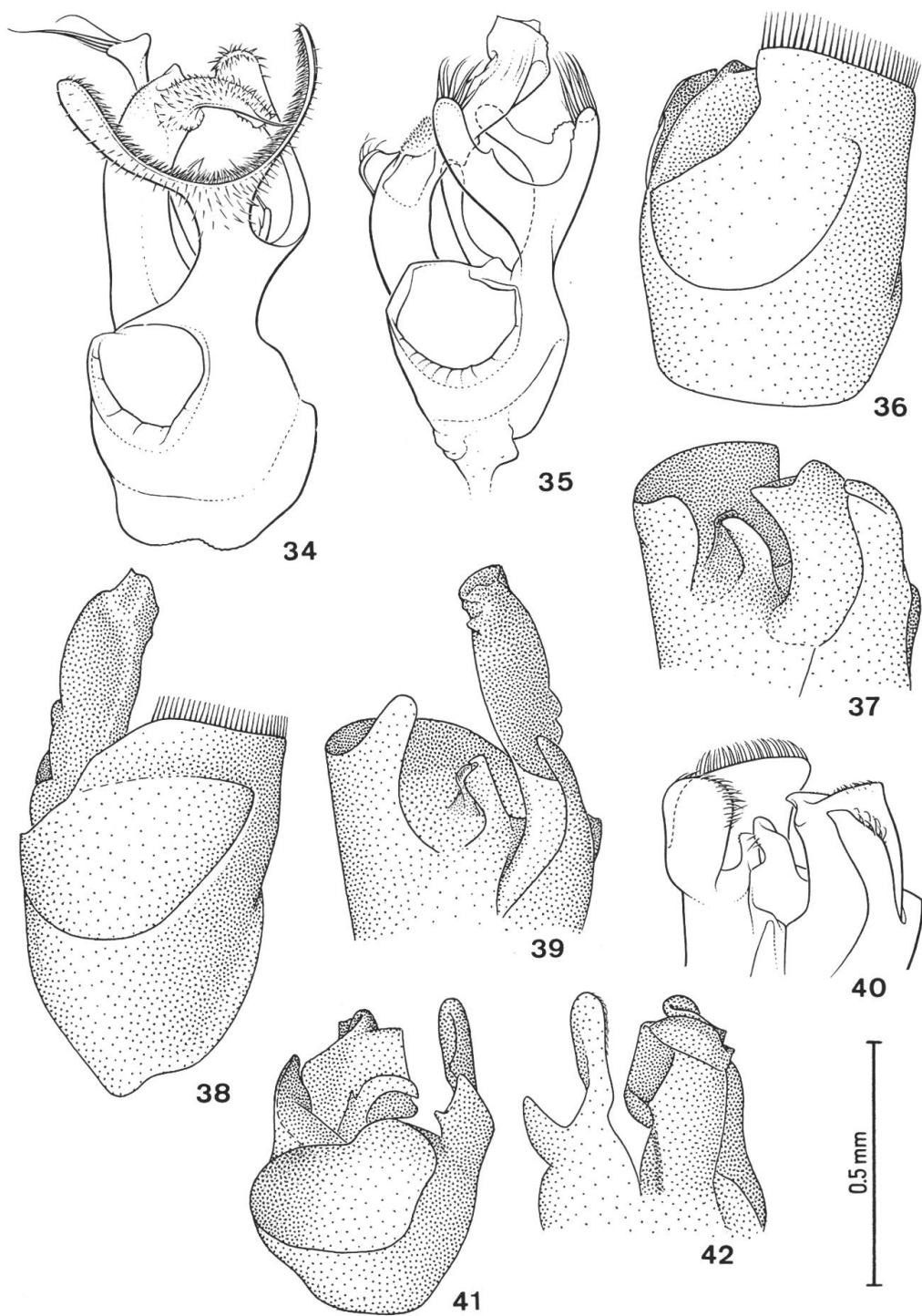
Adresse de l'auteur:
 Dr Michel Brancucci
 Entomologie
 Muséum d'Histoire Naturelle
 Augustinergasse 1
 CH-4001 Bâle



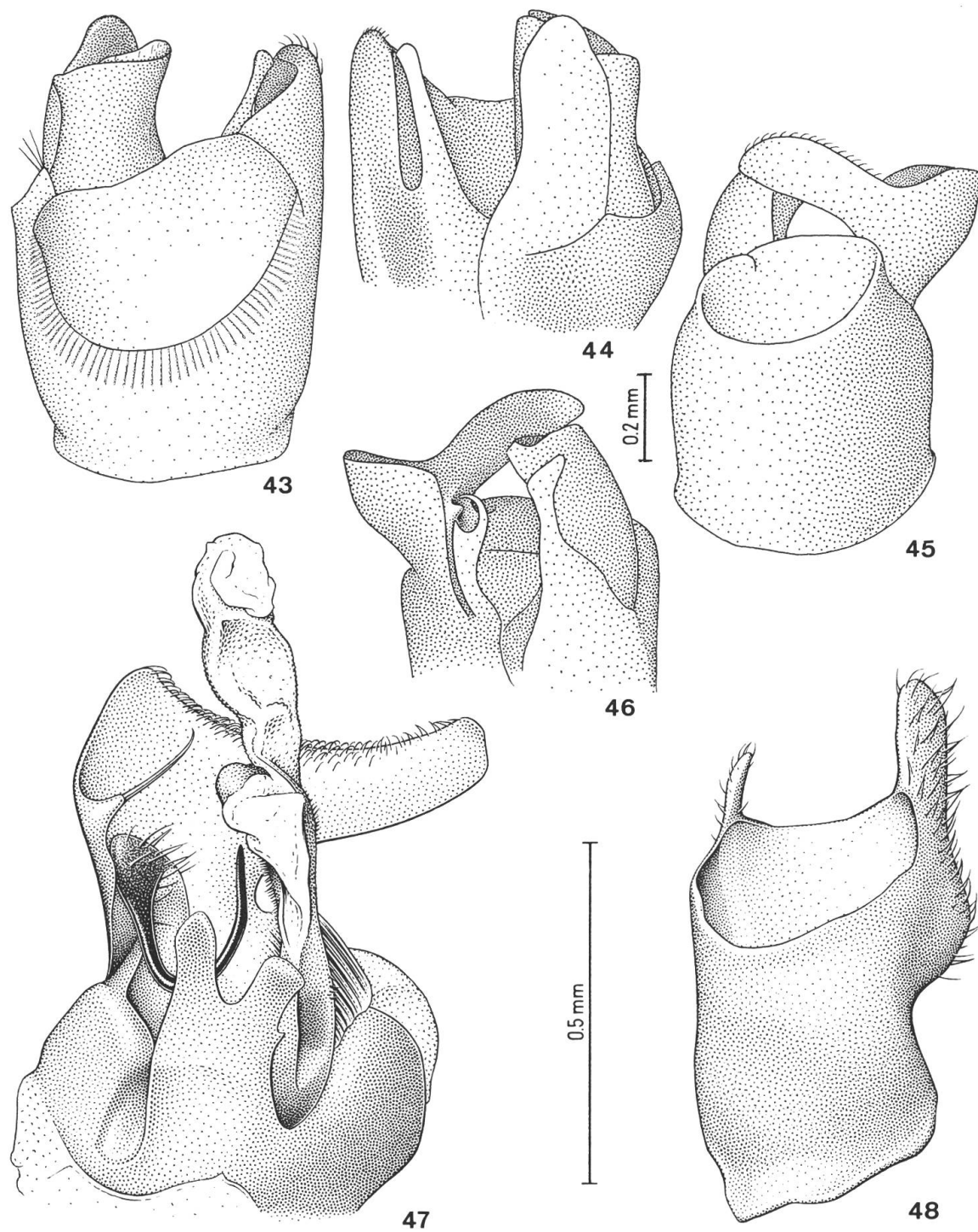
Figs 2–13: 2–3. Tête et pronotum de: 2, *Lobetus torticollis* Kiesw. 3, *L. peruvianus* Pic. 4–5. Premier article des antennes de: 4, *L. torticollis* Kiesw. 5, *L. minutissimus* n.sp. 6, *L. singularicornis* Pic. 7, *L. peruvianus* Pic. 8–11. Trois derniers articles des antennes de: 8, *L. torticollis* Kiesw. 9, *L. minutissimus* n.sp. 10, *L. singularicornis* Pic. 11, *L. kavanau-ghi* n.sp. 12. Tibia antérieur du ♂ de *L. minutissimus* n.sp. 13. Fémur et tibia antérieurs du ♂ de *L. lemoulti* Pic.



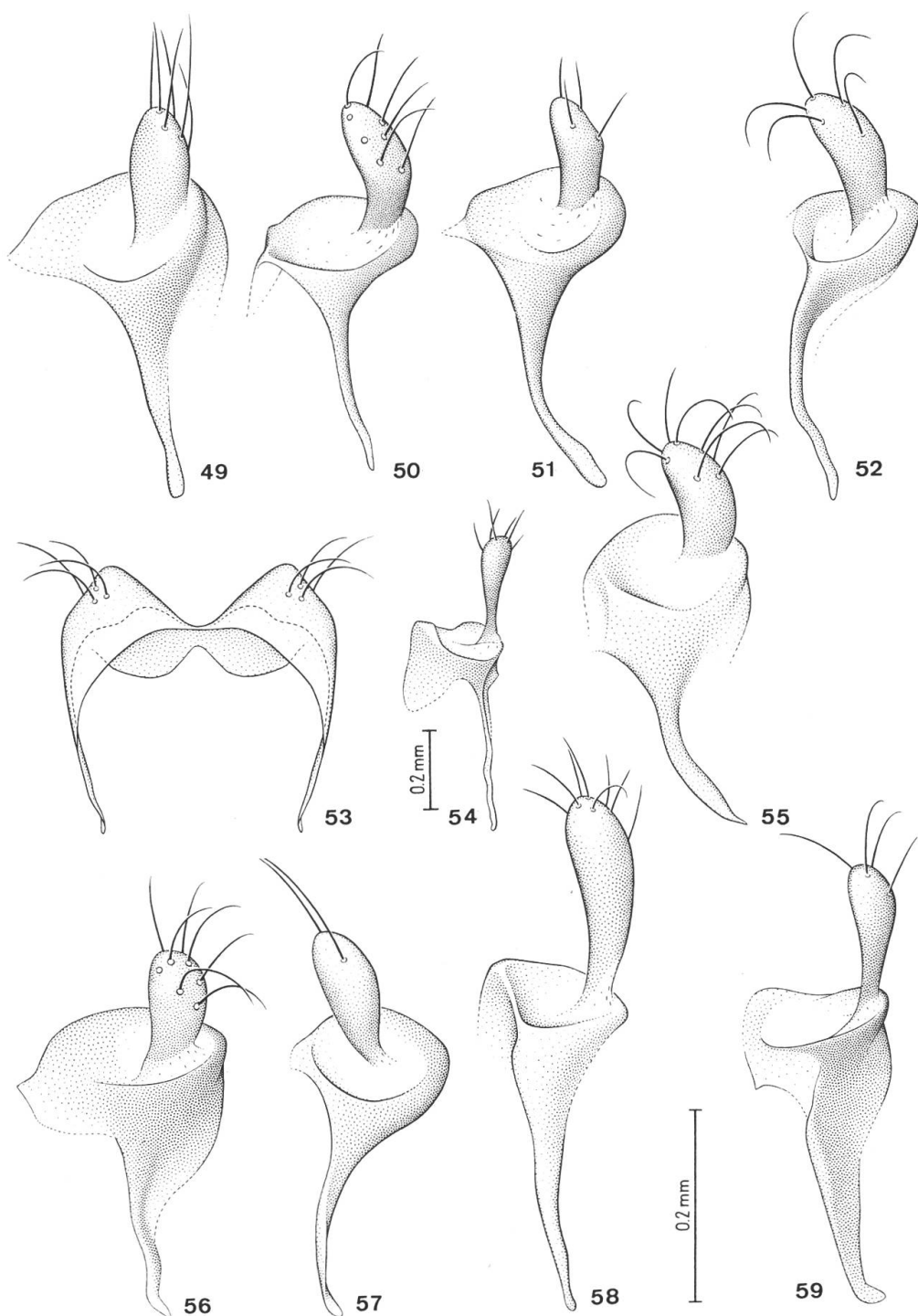
Figs 14–33: 14–22. VIII^e sternite ♂ de: 14, *Lobetus torticollis* Kiesw. 15, *L. minutissimus* n. sp. 16, *L. singularicornis* Pic. 17, *L. peruvianus* Pic. 18, *L. lemóulti* Pic. 19, *L. inapicalis* Pic. 20, *L. rahmi* n. sp. 21, *L. nigromarginatus* n. sp. 22, *L. howdeni* n. sp. 23–33: VIII^e sternite ♀ de: 23, *L. torticollis* Kiesw. 24, *L. singularicornis* Pic. 25, *L. peruvianus* Pic. 26, *L. kavanaughi* n. sp. 27, *L. lemóulti* Pic. 28, *L. inapicalis* Pic. 29, *L. rahmi* n. sp. 30, *L. nigromarginatus* n. sp. 31, *L. haenschi* Pic. 32, *L. grandis* Pic. 33, *L. howdeni* n. sp.



Figs 34–42: Edéage de: 34, *Lobetus torticollis* Kiesw., vue ventrale. 35, *L. minutissimus* n.sp., vue ventrale. 36, *L. singularicornis* Pic, vue ventrale. 37, Idem, vue dorsale. 38, *L. peruvianus* Pic, vue ventrale. 39, Idem, vue dorsale. 40, *L. kavanaughi* n.sp., vue dorsale. 41, *L. lemoulti* Pic, vue ventrale. 42, Idem, vue dorsale.



Figs 43–48: Edéage de: 43, *Lobetus inapicalis* Pic, vue ventrale. 44, Idem, vue dorsale. 45, *L. rahmi* n.sp., vue ventrale. 46, Idem, vue dorsale. 47, *L. nigromarginatus* n.sp., vue dorsale. 48, *L. howdeni* n.sp., vue ventrale. Toutes les figures sont à la même échelle, à l'exception des Nos 45 et 46.



Figs 49–59: Coxite droit de: 49, *Lobetus torticollis* Kiesw. 50, *L. singularicornis* Pic. 51, *L. pervianus* Pic, 52, *L. kavanaughi* n. sp. 53, *L. lemoulti* Pic, droit et gauche. 54, *L. inapicalis* Pic. 55, *L. rahmi* n. sp. 56, *L. nigromarginatus* n. sp. 57, *L. haenschi* Pic. 58, *L. grandis* Pic. 59, *L. howdeni* n. sp. Toutes les figures sont à la même échelle à l'exception du No 54.